



Deutsche Gesellschaft
für Rheumatologie e.V.

BILDIMPULSE

SKRIPTUM RHEUMATOLOGIE

Impressum

Herausgeber:

Deutsche Gesellschaft für Rheumatologie e.V. DGRh
Wilhelmine-Gemberg-Weg 6
10179 Berlin
www.dgrh.de

Gestaltung:

Susanne Appelhanz | www.appelhanz.de

Bilder:

Alle Bilder sind urheberrechtlich geschützt.
Eine Verwendung zu kommerziellen Zwecken ist untersagt. Eine Verwendung
zu Lehrzwecken ist mit Einverständnis des Bildeigentümers erlaubt.

INHALT

Rheumatoide Arthritis (RA).....	4
Virusarthritiden	10
Morbus Bechterew	11
Psoriasisarthritis.....	14
Reaktive Arthritis.....	17
Sarkoidose	18
IgG4-Erkrankungen	21
Gicht.....	23
CPPD-Arthropathie	26
Arteriitis temporalis – Riesenzellerarteriitis	28
Takayasu Arteriitis.....	31
Panarteriitis nodosa	33
ANCA-Vasculitiden – MPA – GPA.....	36
ANCA-Vasculitiden – EGPA.....	39
IgA-Vasculitis	41
Behcet.....	43
Kryoglobulinämische Vasculitis	46
GBM-Vasculitis	49
Systemischer Lupus erythematoses (SLE)	50
Sjögren-Syndrom	53
Systemische Sklerose.....	55
Polymyositis/Dermatomyositis	61
MCTD	63
Osteoarthrose	64
Spondylarthrose.....	67
Osteoporose.....	69
Konventionelle Basistherapeutika	71
Biologika	72

RHEUMATOIDE ARTHRITIS (RA)

Frühstadium einer RA



Ulnardeviation

Synovitiden an den MCP-Gelenken



Schwanenhalsdeformationen

Spätstadium mit Gelenkdestruktionen



Nachweis erster Usuren

Spätstadium – „ausgebrannte“ RA

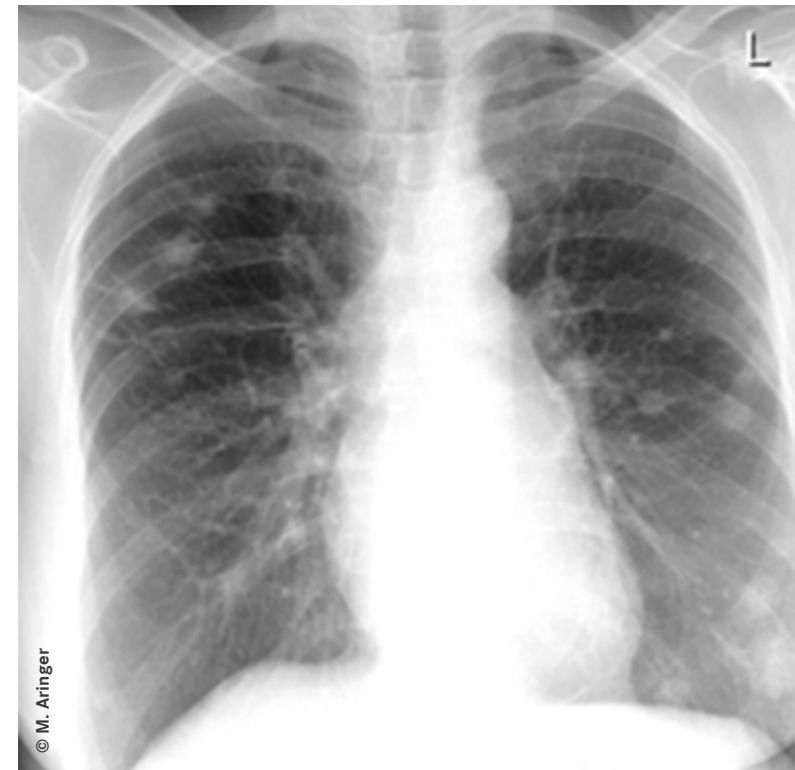


verschiedene Ausprägungen radiologischer Destruktionen

verschiedene Ausprägungen
radiologischer Destruktionen



verschiedene Ausprägungen
radiologischer Destruktionen



pulmonale Rheumaknoten



Atlantodentale Instabilität

VIRUSARTHRITIDEN

Parvovirus B19 Infektion

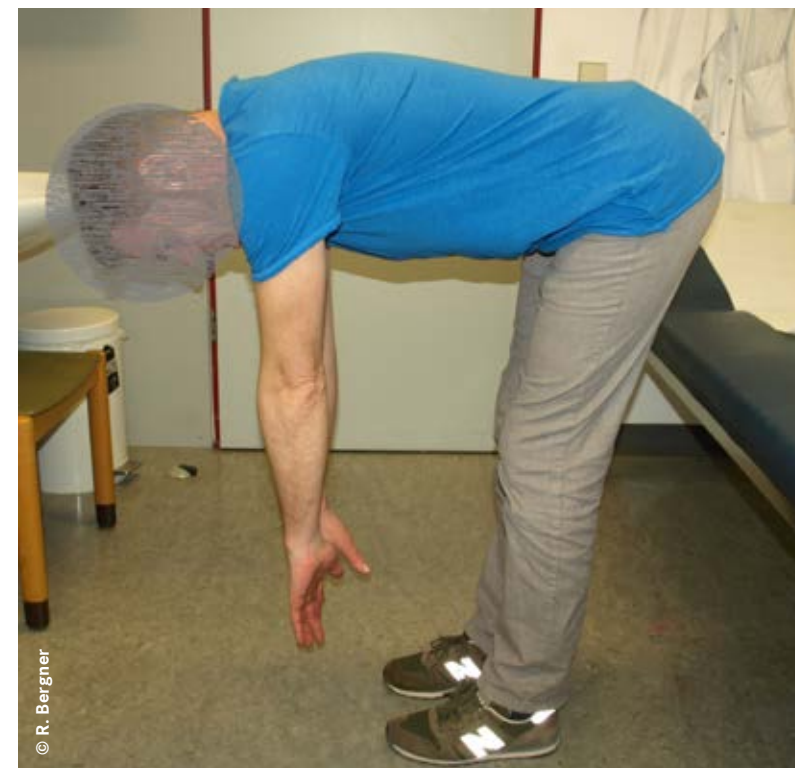


MORBUS BECHTEREW

Hinterhaupt-Wand-Abstand



eingesteifte Wirbelsäule

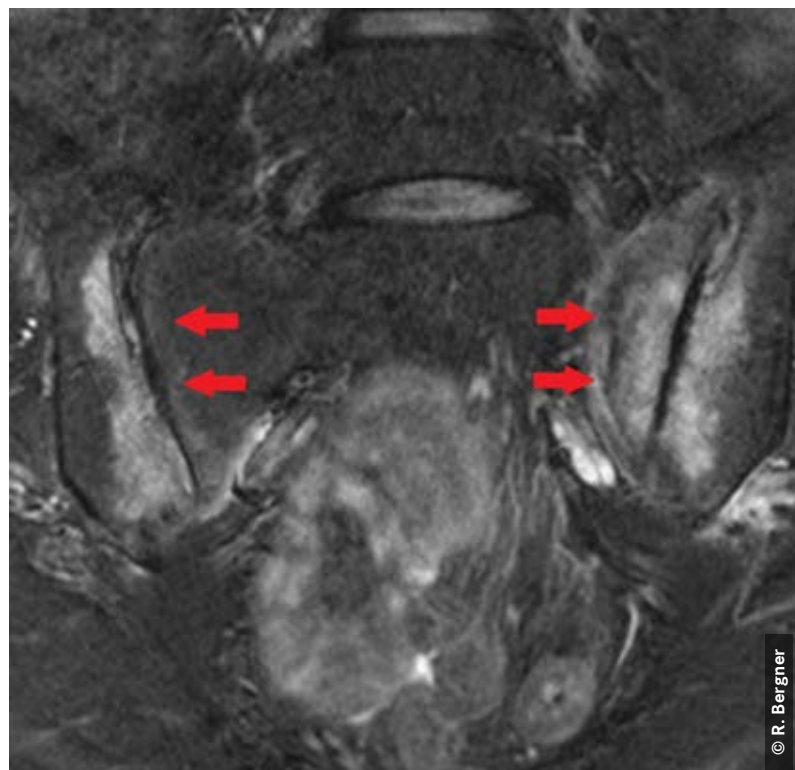


Sacroiliitis Stadium III-IV



Enthesitis der Achillessehne

MRT –
beidseitige Sacroiliitis



Uveitis anterior

PSORIASISARTHTRITIS

fortgeschrittene Psoriasisarthritis



Tüpfelnägel

Ölflecken-Nägel



mutilierende Arthritis

typische radiologische Veränderungen



Psoriasis retroauriculär



REAKTIVE ARTHRITIS



reaktive Arthritis - Keratoderma blenorrhagicum



Oligoarthritis der Knie bei Chlamydieninfektion

SARKOIDOSE

Löfgren-Syndrom –
Erythema nodosum



Sarkoidose –
Lupus pernio



Kleinknotige Hautsarkoidose



Sarkoidose – mediastinale Lymphome
(pulmonale Sarkoidose Typ I)

IGG4-ERKRANKUNGEN

Narbensarkoidose



Sarkoidose –
cirrhöse Hautsarkoidose

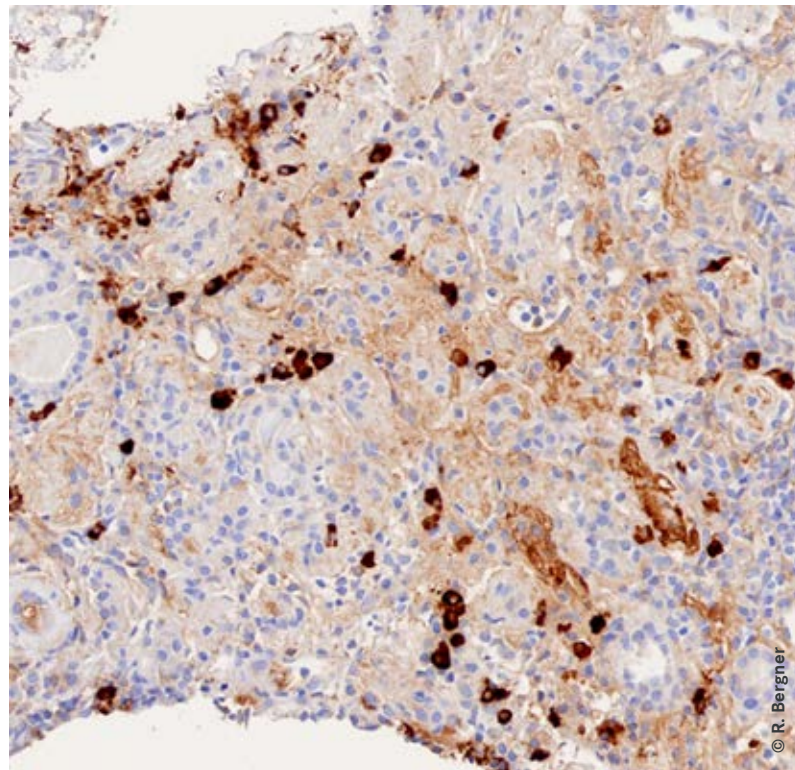


Sialadenitis

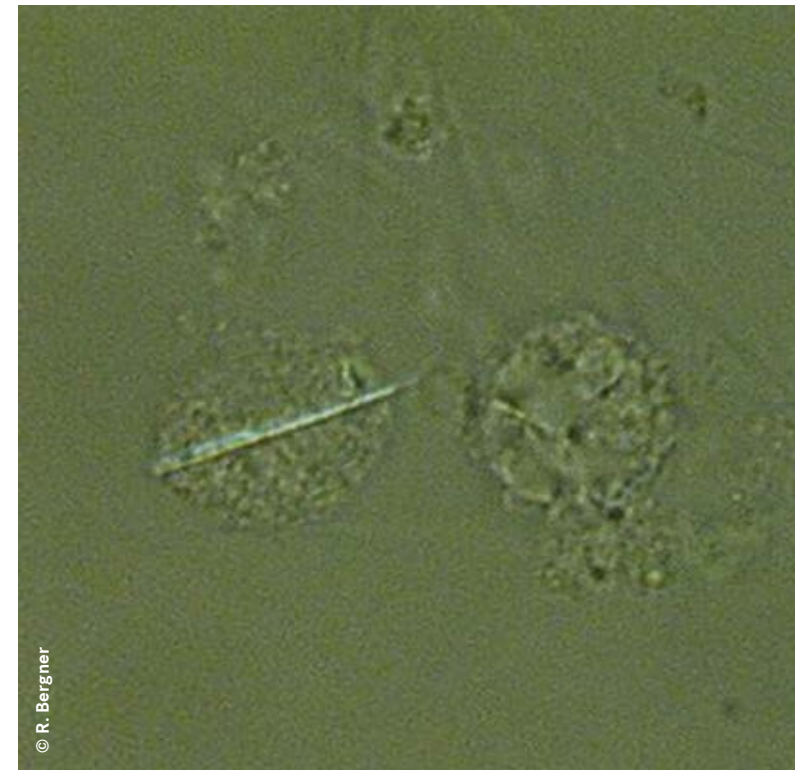


PET-CT - Pleurale Gewebeerhöhung

IgG4-Färbung einer
IgG4-interstitiellen Nephritis



GICHT



Gelenkpunktat mit phagozytiertem
Harnsäurekristall



Podagra

tophöse Gicht



typische radiologische Veränderungen

Gichttophus am Ellenbogen



Arthrosonographie mit Doppelkontur an den Femurkondylen

CPPD-ARTHROPATHIE

Gelenkpunktat mit phagozytiertem Calcium-Pyrophosphatkristall



Chondrocalcinose am Handgelenk



Arthrosonographie – intracartilaginäre Doppelkontur

ARTERIITIS TEMPORALIS – RIESENZELLARTERIITIS

Arteriitis temporalis



Halophänomen im Farbdoppler

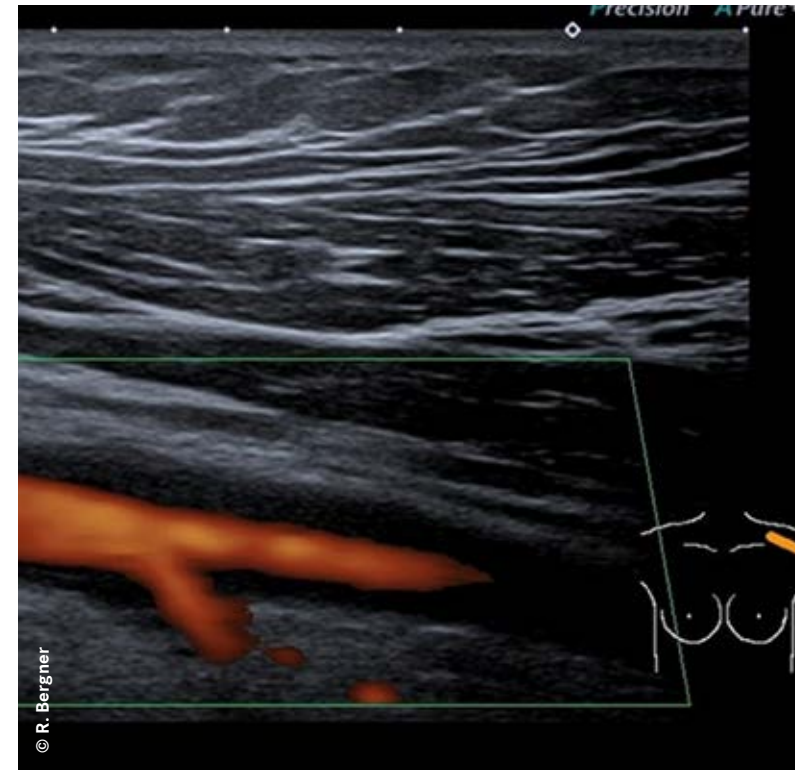
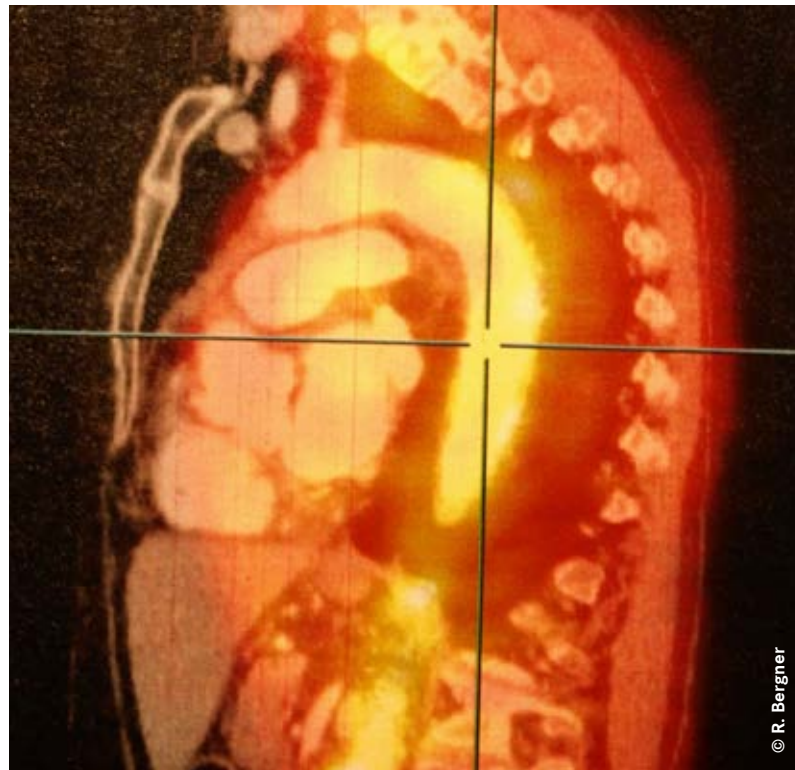
Ausgeprägte Skalpnekrose
bei Arteriitis temporalis



Histologie einer Temporalisbiopsie

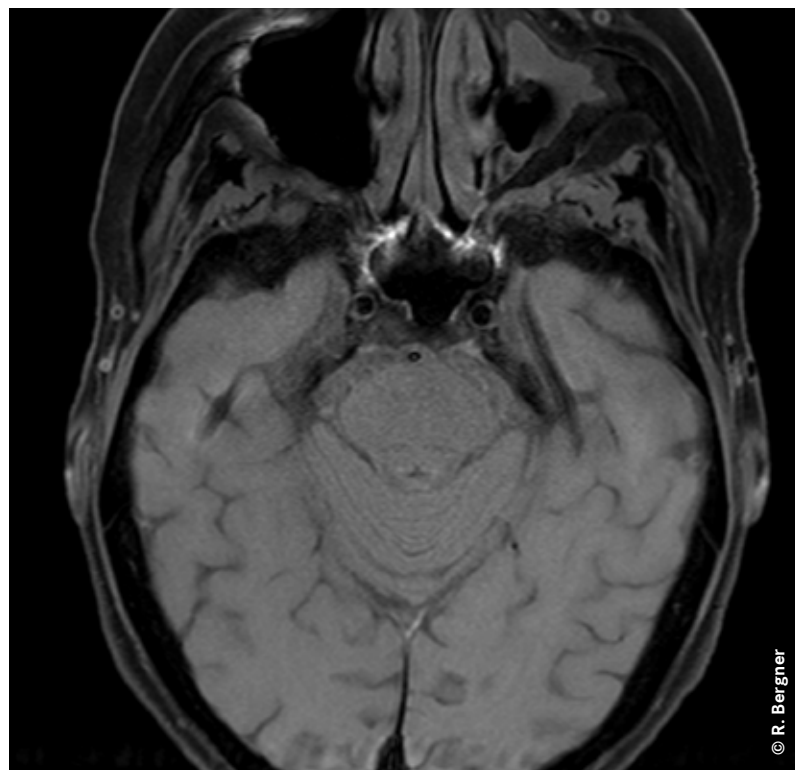
TAKAYASU ARTERIITIS

PET-CT mit Aortitis



Langstreckige echoarme
Wandverdickung der
Arteria subclavia

MRT mit florider Arteriitis temporalis



MR-Angiographie mit Verschluss
der linken A. subclavia und
Umgehungskreislauf

Ischämie der Hände
bei Subclaviastenose



PANARTERITIS NODOSA



Erythema nodosum

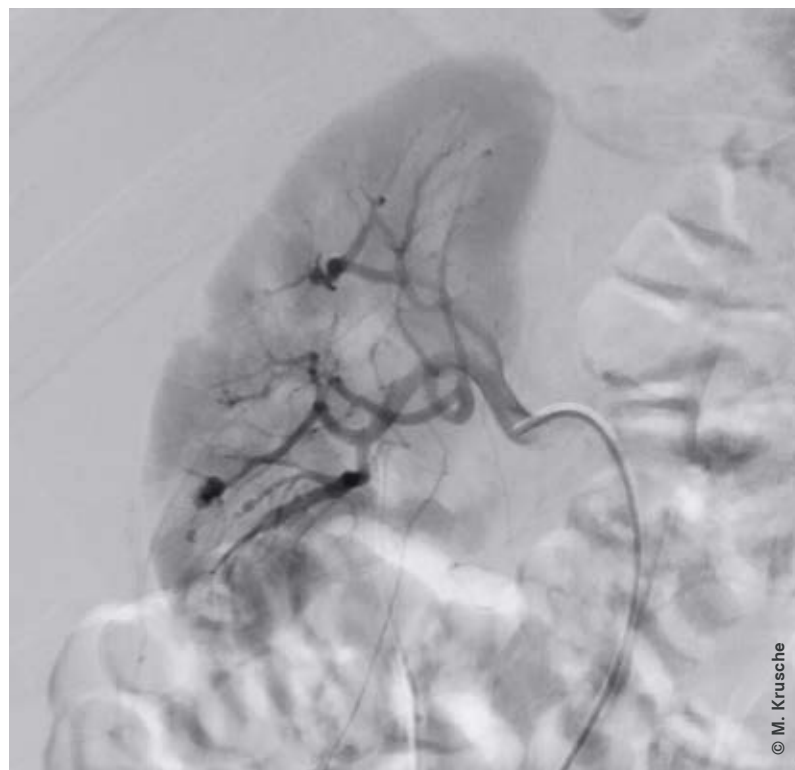


Panarteriitis nodosa –
nekrotisierendes Hautulcus

Angiographie der Mesenterialgefäße
mit typischen Mikroaneurysmata



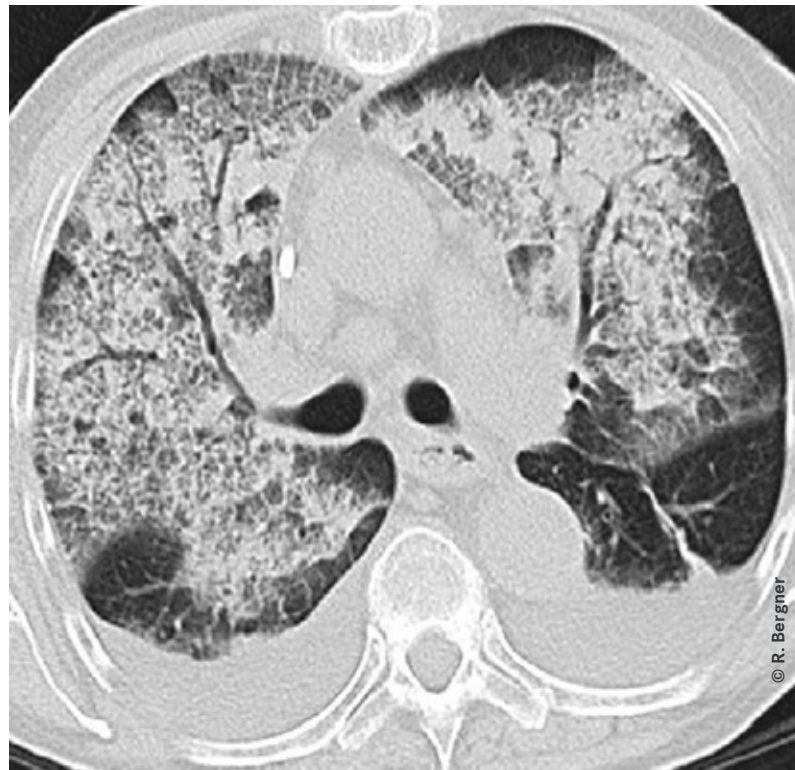
Angiographie der Niere mit
typischen Mikroaneurysmata



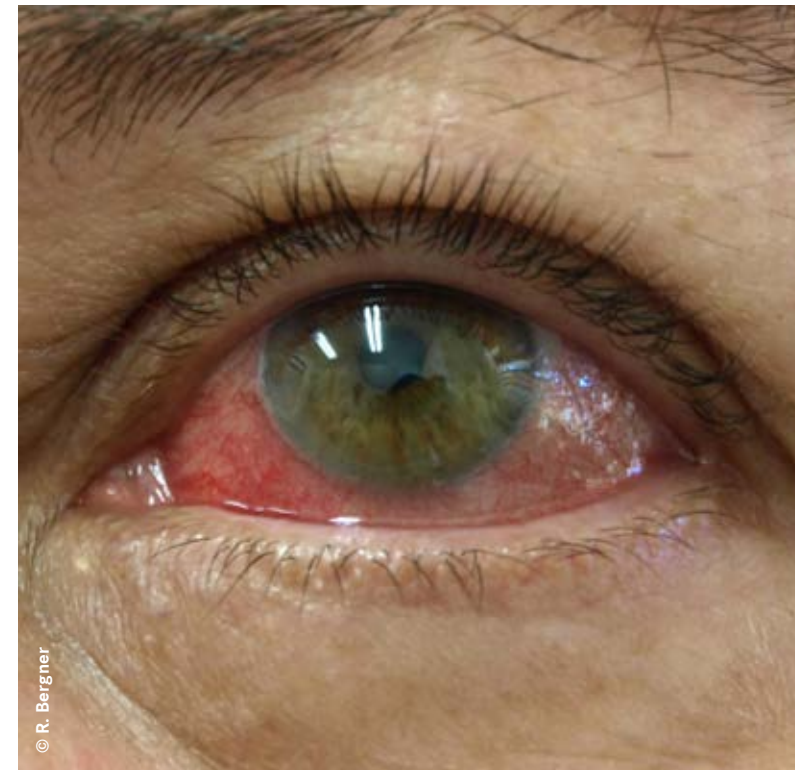
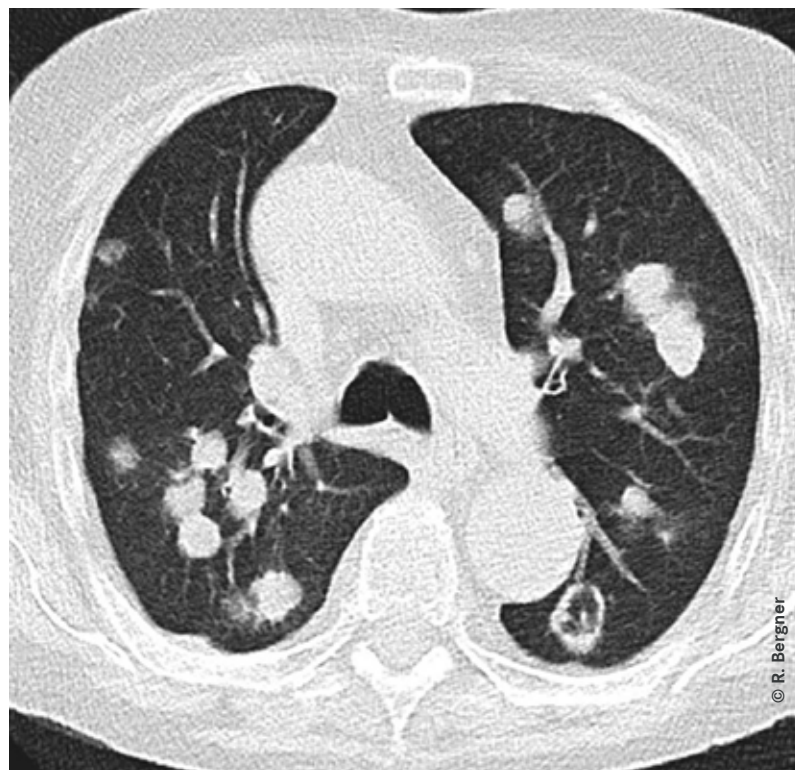
CT – Niereninfarkt rechts

ANCA-VASCULITIDEN – MPA – GPA

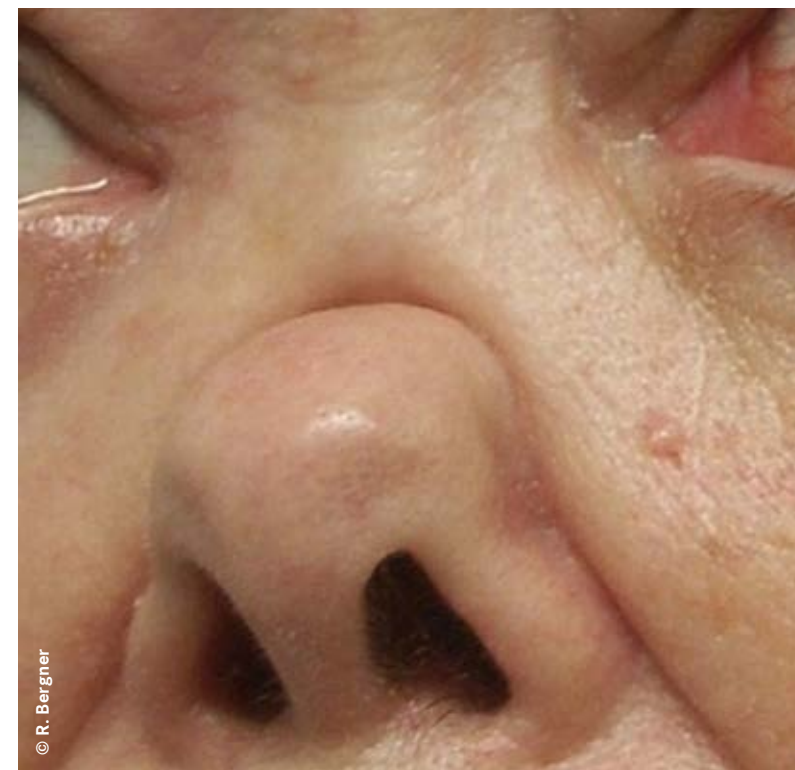
MPA – pulmonale Blutungen



GPA – pulmonale Granulome



GPA – Episkleritis



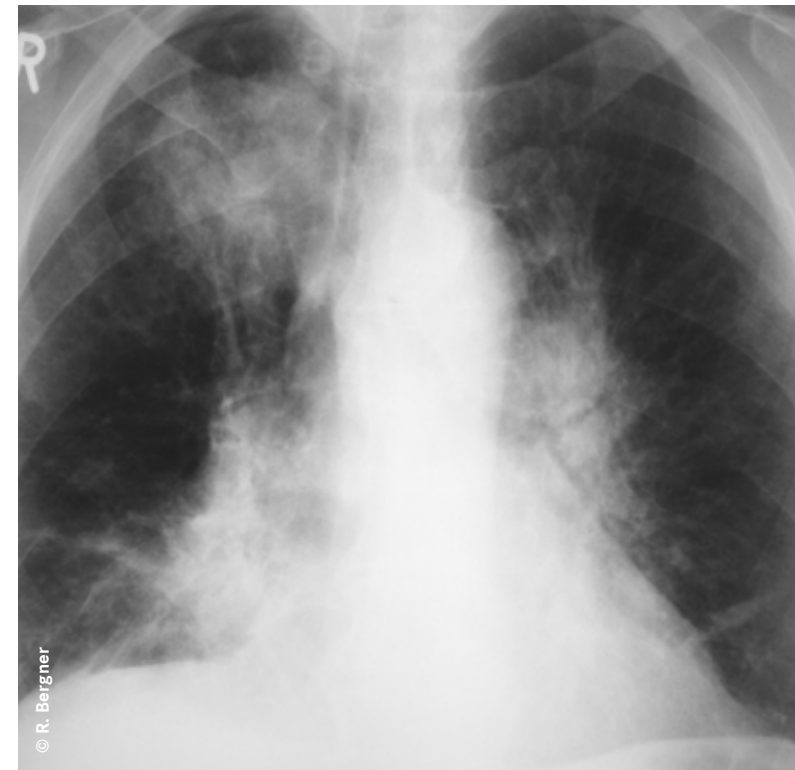
GPA – Sattelnase

ANCA-VASCULITIDEN – EGPA

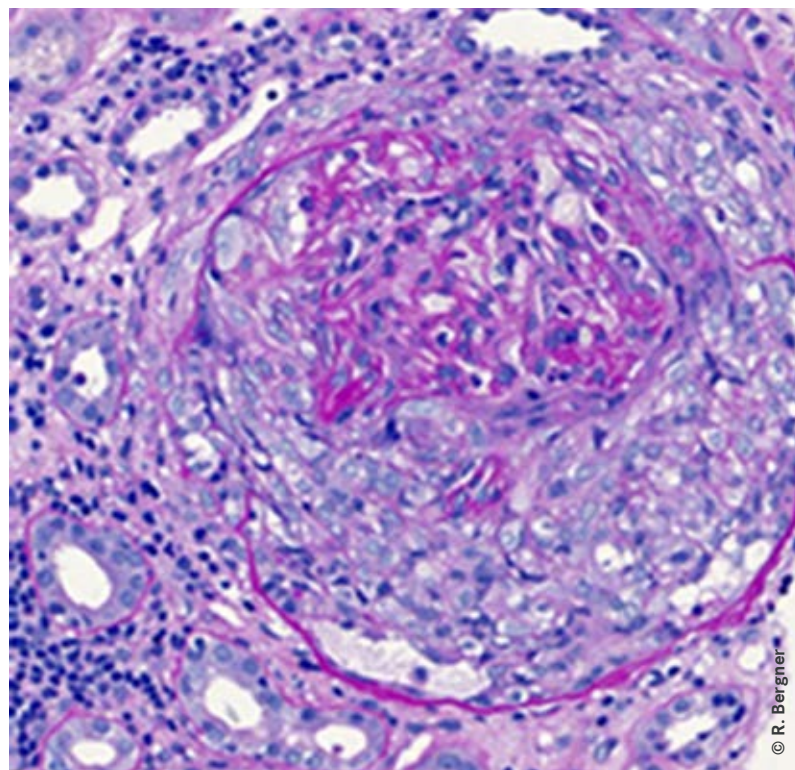
GPA – Gaumendestruktion



EGPA – pulmonale Infiltrate



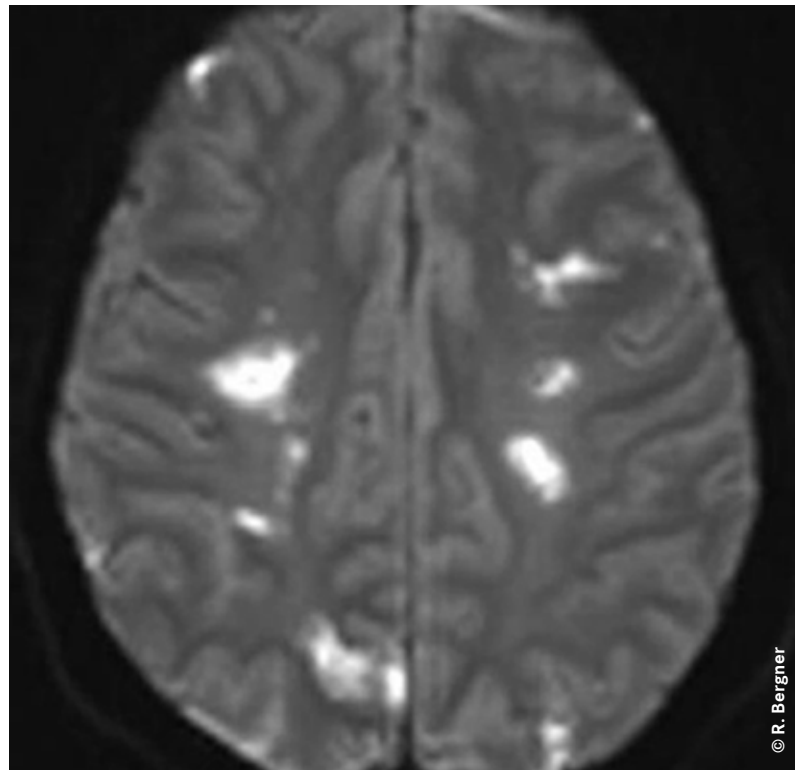
Extracapillär proliferierende
Glomerulonephritis



EGPA – Hautvasculitis



EGPA – ZNS-Befall mit
multiplen Hirnherden



IGA-VASCULITIS

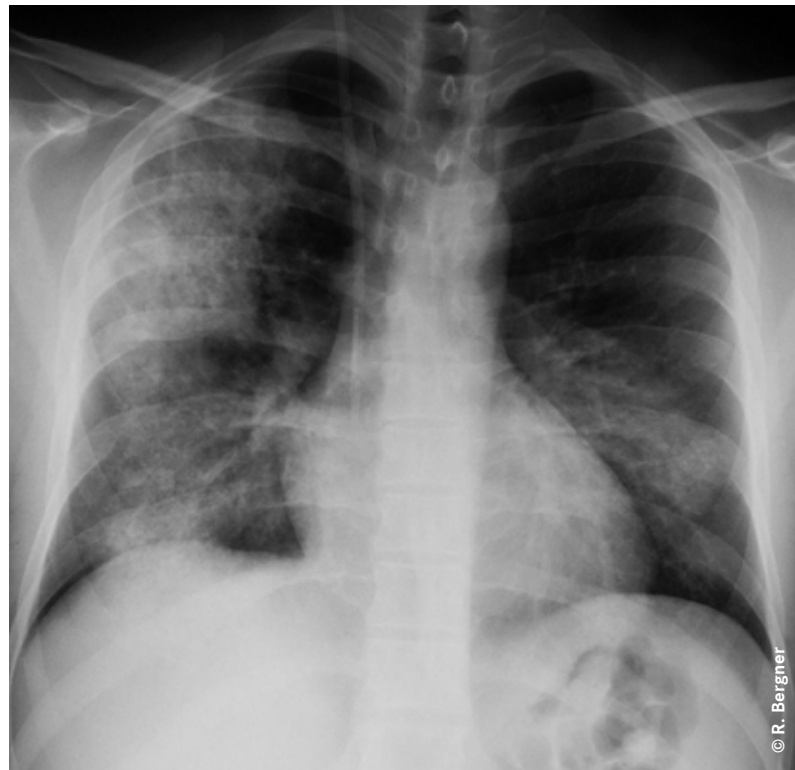


palpable Purpura

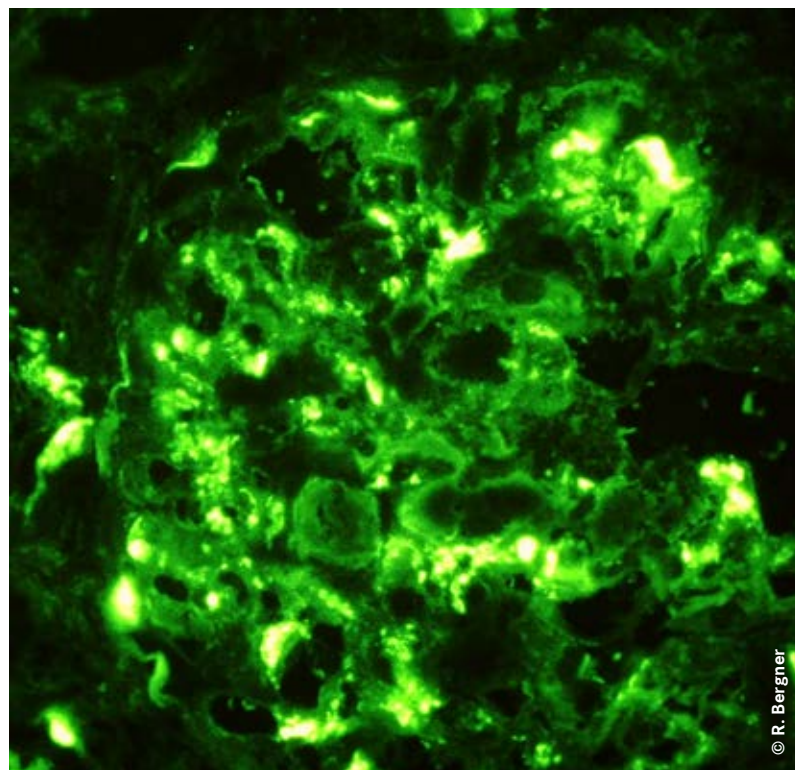


palpable Purpura

pulmonale Vasculitis



IgA-Glomerulonephritis
(Immunhistologie mit IgA)



BEHCET



orale Aphten an der Zunge und Lippe



orale Aphten an der Zunge und Lippe

Monarthritis des Knies



positiver Pathergietest

Umgehungskreislauf bei
Cavathrombose



positiver Pathergietest

KRYOGLOBULINÄMISCHE VASCULITIS

Kryoglobulinämische Vasculitis in verschiedenen Ausprägungen



Kryoglobulinämische Vasculitis in verschiedenen Ausprägungen



Kryoglobulinämische Vasculitis in verschiedenen Ausprägungen

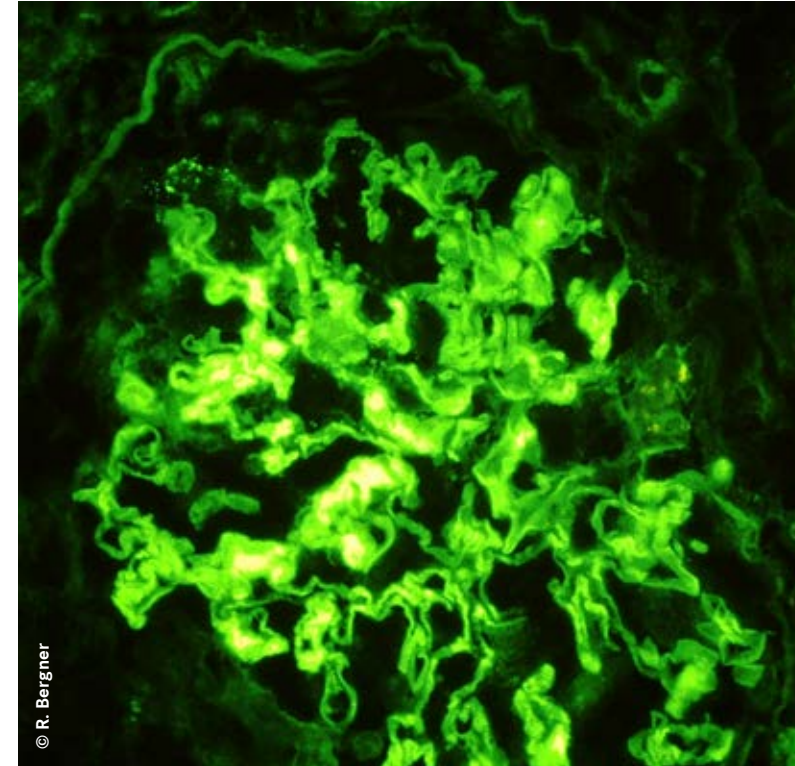


Kryoglobulinämische Vasculitis in verschiedenen Ausprägungen

Kryoglobulinämische Vasculitis
in verschiedenen Ausprägungen



GBM-VASCULITIS



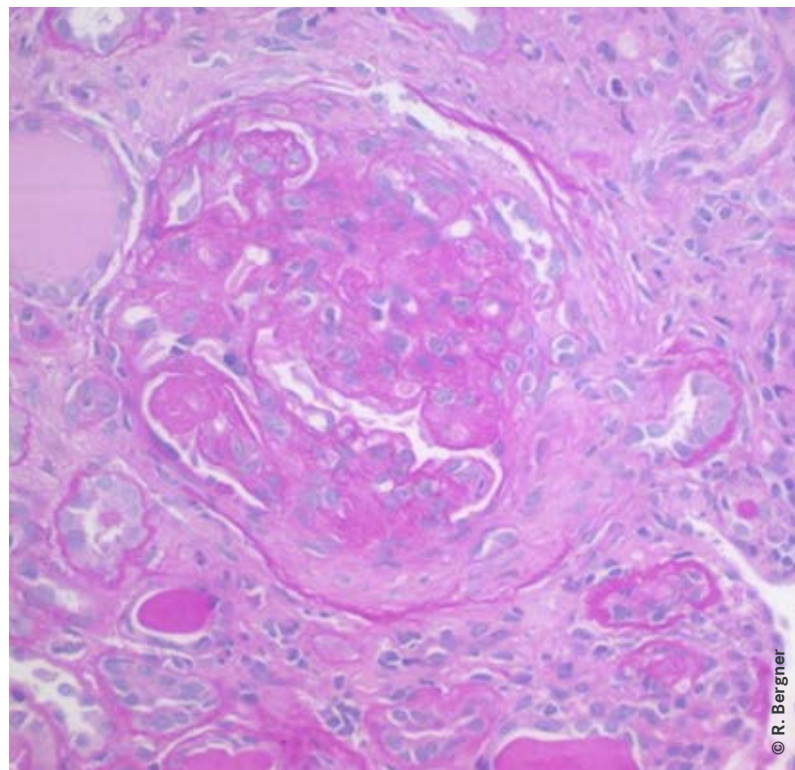
GBM-Vasculitis – Histologie der Niere
mit linearen IgG-Ablagerungen an der
Basalmembran (GBM-AK)

SYSTEMISCHER LUPUS ERYTHEMATODES (SLE)

Schmetterlingserythem



Lupusnephritis Typ IV



Diskoider Lupus



Röntgen – Jaccouarthrit

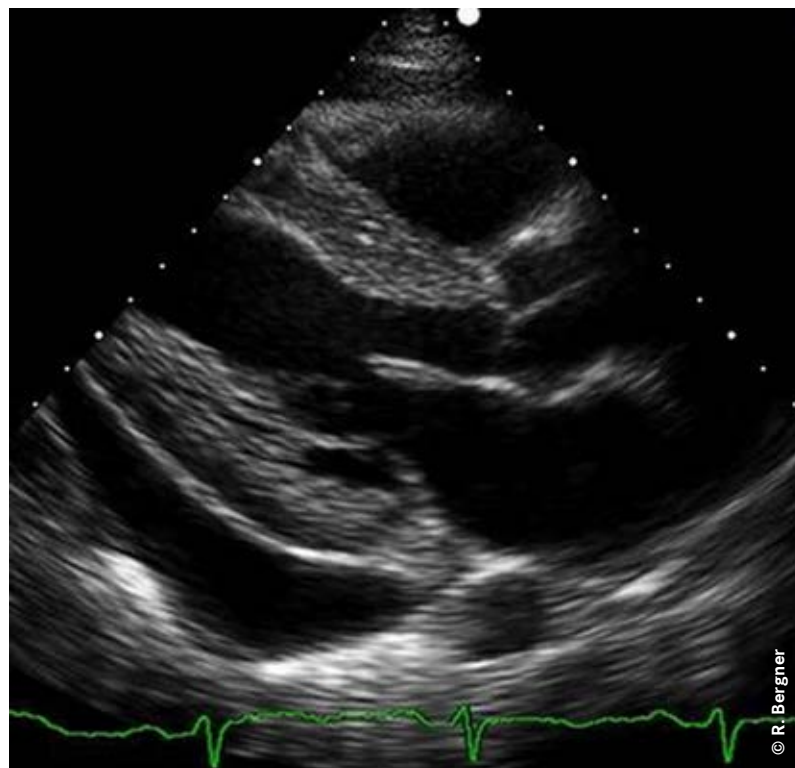


SJÖGREN-SYNDROM

CT Thorax mit Pleuraerguss
und Infiltraten



Echocardiographie mit
Pericarderguss



Sialadenitis



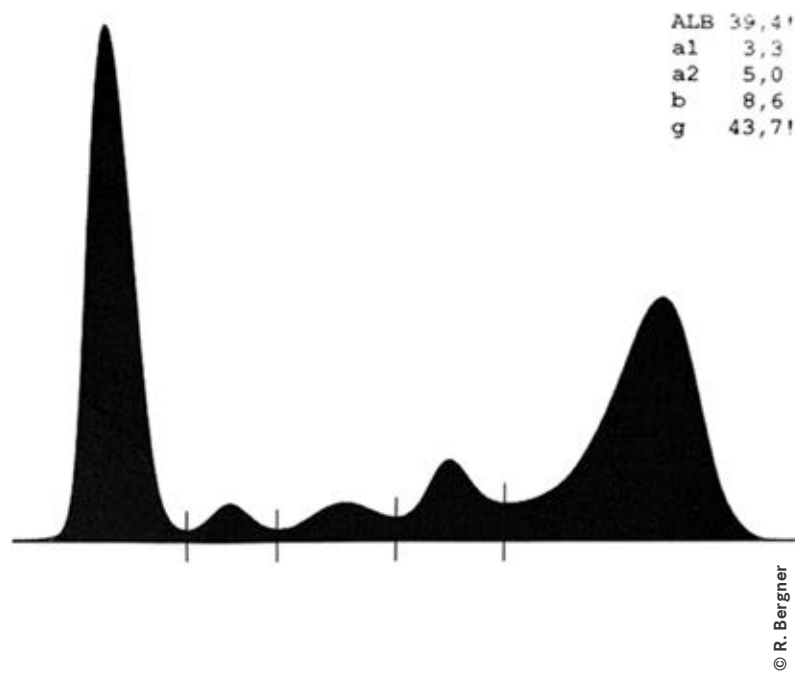
Sonobefund der Glandula
submandibularis

SYSTEMISCHE SKLEROSE

MRT – Sialadenitis
der Glandulae parotes



Elektrophorese mit polyklonaler
Immunglobulinvermehrung
bei Sjögren-Syndrom

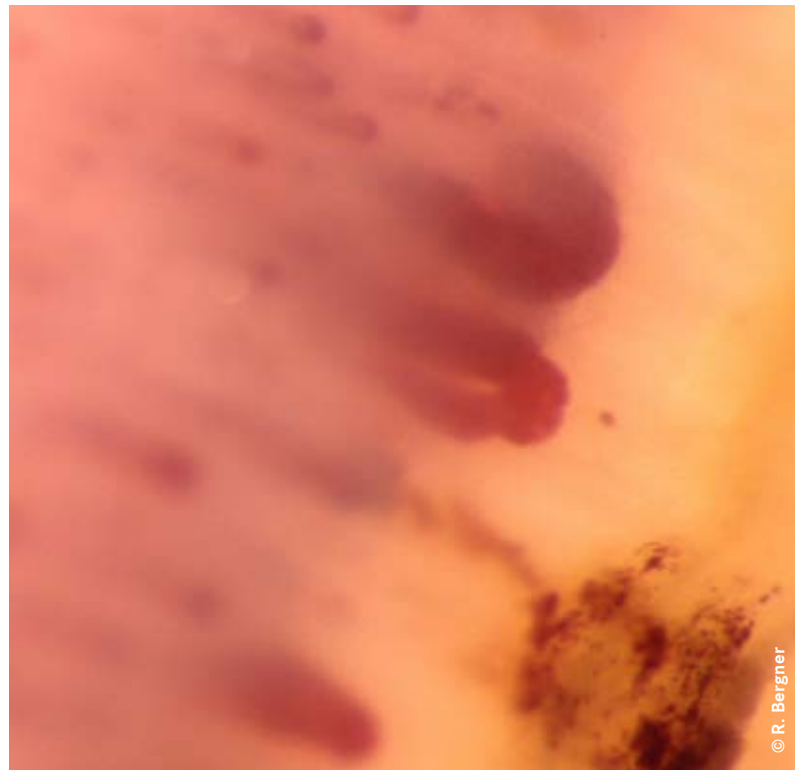


Raynaudphänomen

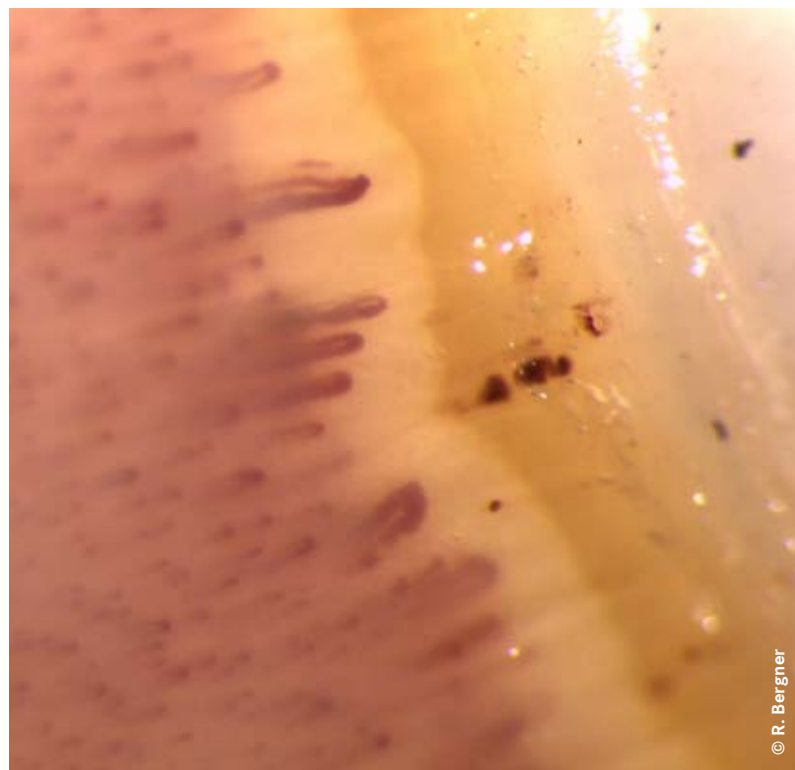


Akroosteolysen

Kapillarmikroskopie mit
Megakapillaren und
Mikroblutungen



Kapillarmikroskopie mit
Megakapillaren und
Mikroblutungen



Hautsklerose am Thorax



CT Thorax mit Lungenfibrose
und starrem Ösophagus



Akrale Nekrose



Calcinosis cutis



Kontrakturen bei fortgeschrittener Sklerose



Streckdefizit und akrale Nekrose



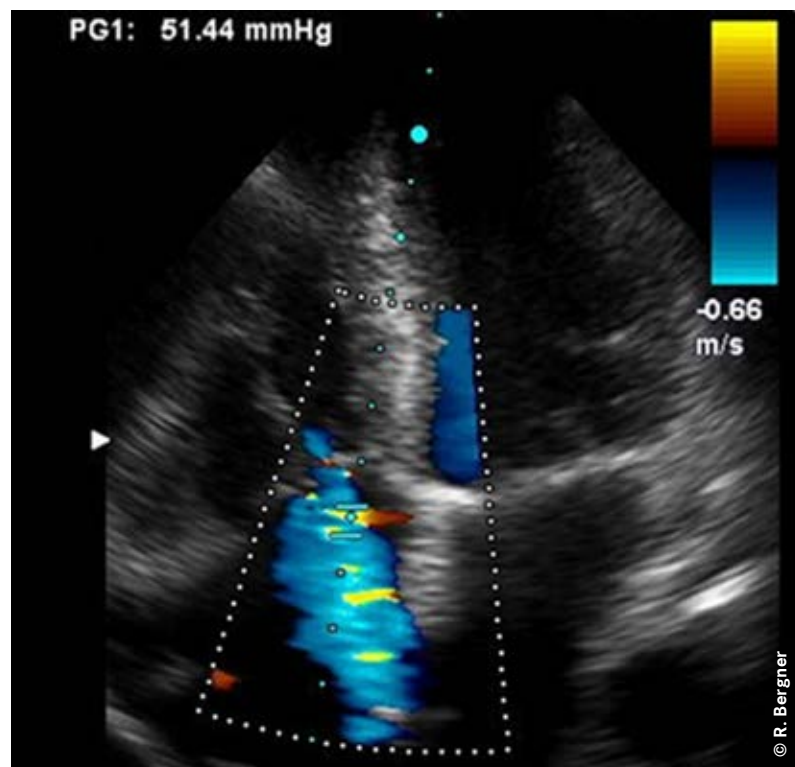
POLYMYOSITIS/ DERMATOMYOSITIS

Tabaksbeutelmund



Heliotropes Erythem

Echocardiographie mit
pulmonaler Hypertonie



Mechanic hands

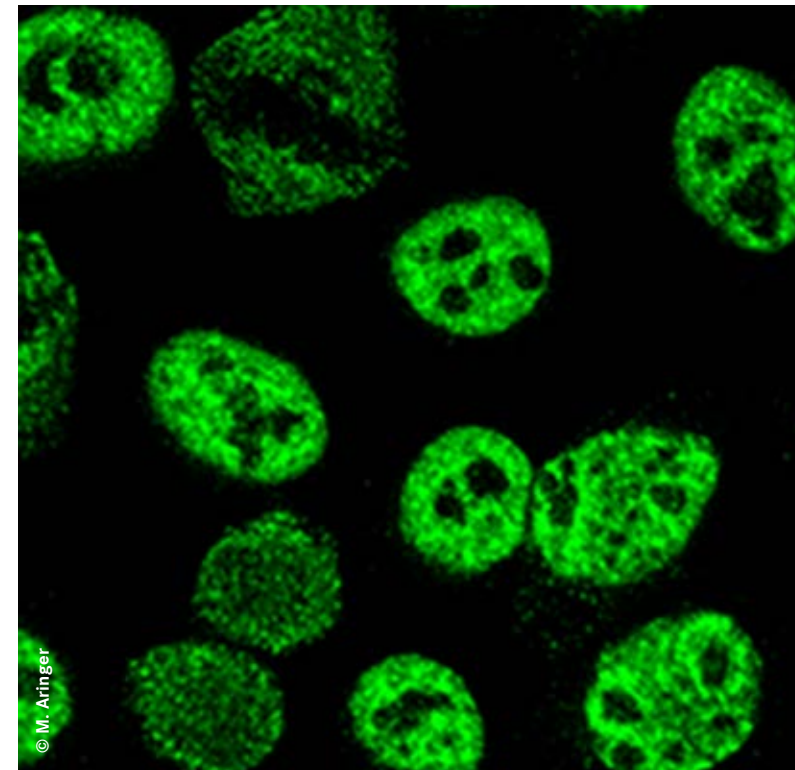
Gottron-Papeln



Nagelfalzhyperkeratose
(Keinig-Zeichen)



MCTD



ANA (Muster AC-5 –
Nukleär grob gesprenkelt)



Puffy hands

OSTEOARTHROSE

Röntgen Coxarthrose



Röntgen Gonarthrose



Röntgen Omarthrose



Röntgen Gonarthrose

SPONDYLARTHROSE

Röntgen Fingerpolyarthrose



Fingerpolyarthrose



CT der Wirbelsäule mit Spondylophyten



Röntgen der Wirbelsäule mit Spondylophyten

OSTEOPOROSE

Röntgen der Wirbelsäule mit Spondylophyten



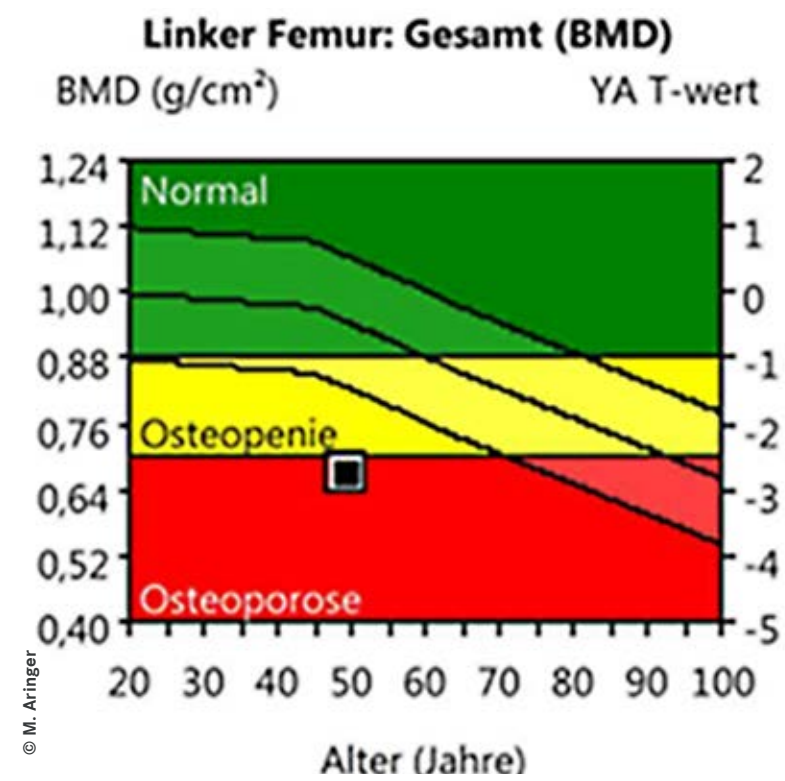
Röntgen mit Z.n. Stabilisierung der Wirbelsäule, Vakuumphänomen



Osteodensitometrie mit DXA

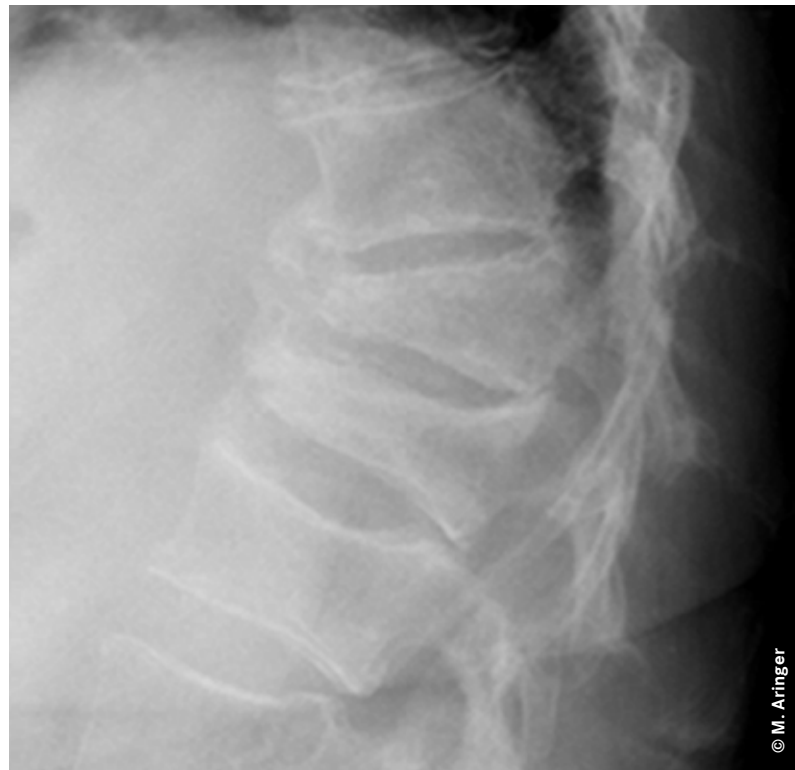


Osteodensitometrie mit DXA



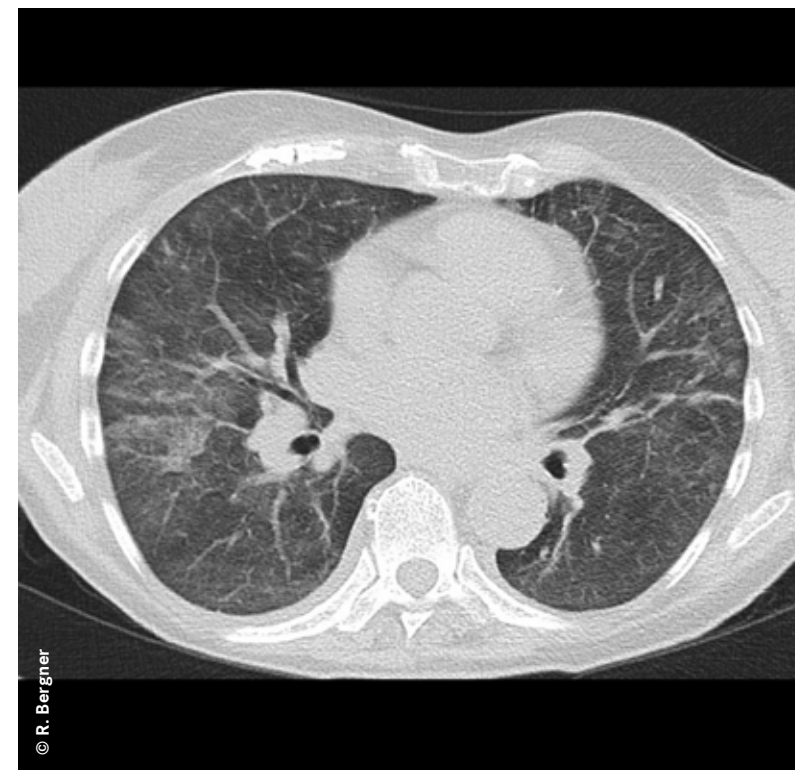
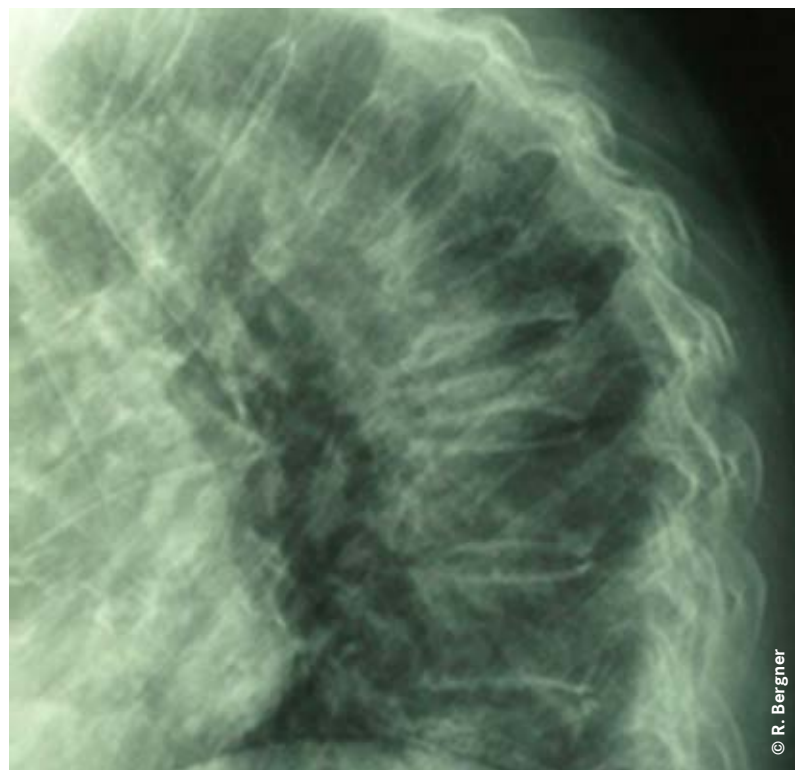
KONVENTIONELLE BASISTHERAPEUTIKA

BWS Kyphose bei Sinterungsfrakturen



Mucositis bei
MTX Überdosierung

BWS Kyphose bei Sinterungsfrakturen



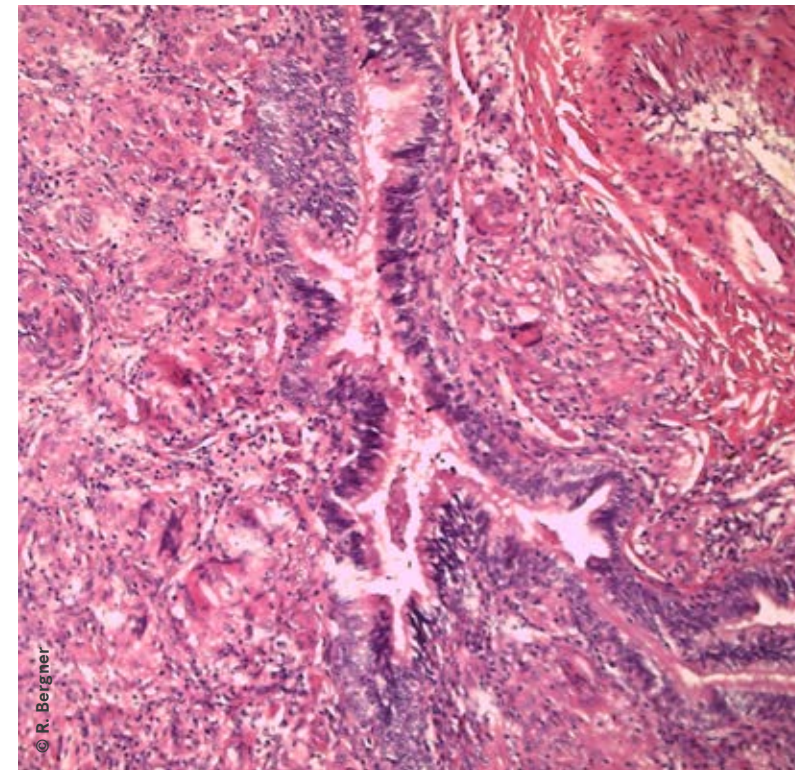
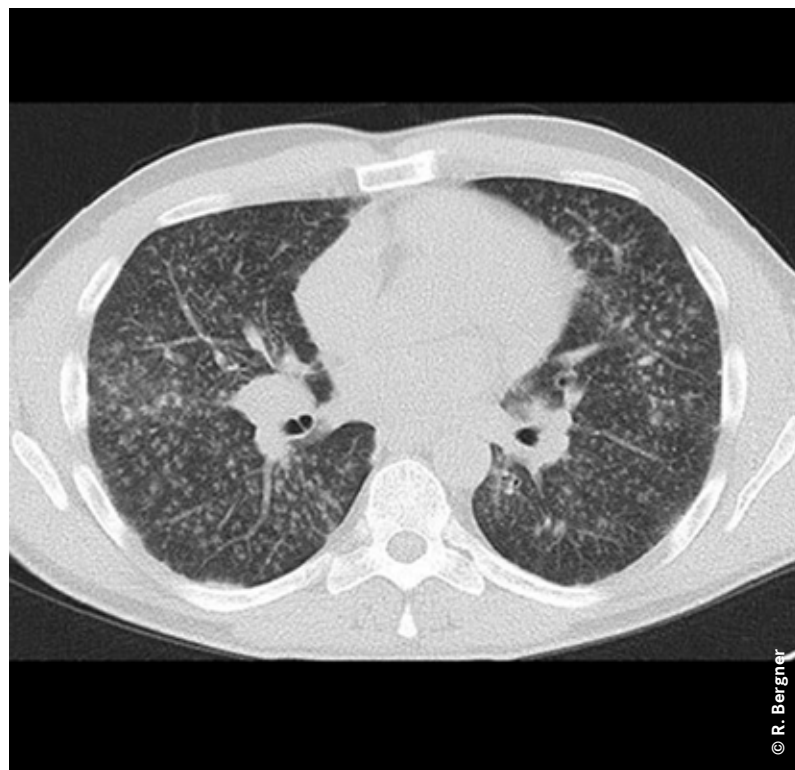
MTX induzierte Alveolitis

BIOLOGIKA

Anti-TNF induzierte Psoriasis capitis



Pulmonale Granulomatose unter Anti-TNF-Therapie



Histologie –
Pulmonale Granulomatose unter
Anti-TNF-Therapie

Deutsche Gesellschaft
für Rheumatologie e.V. DGRh
Wilhelmine-Gemberg-Weg 6, Aufgang C
10179 Berlin

Telefon: +49 30 240 484-70

Telefax: +49 30 240 484-79

E-mail: info@dgrh.de

Web: dgrh.de